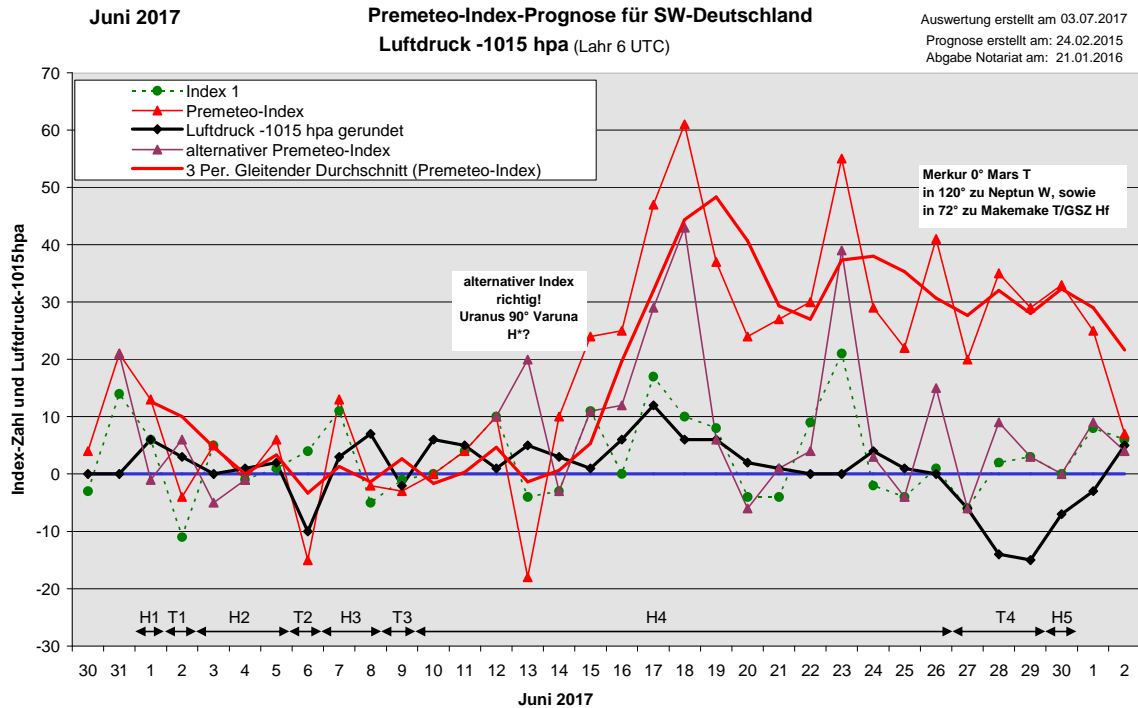


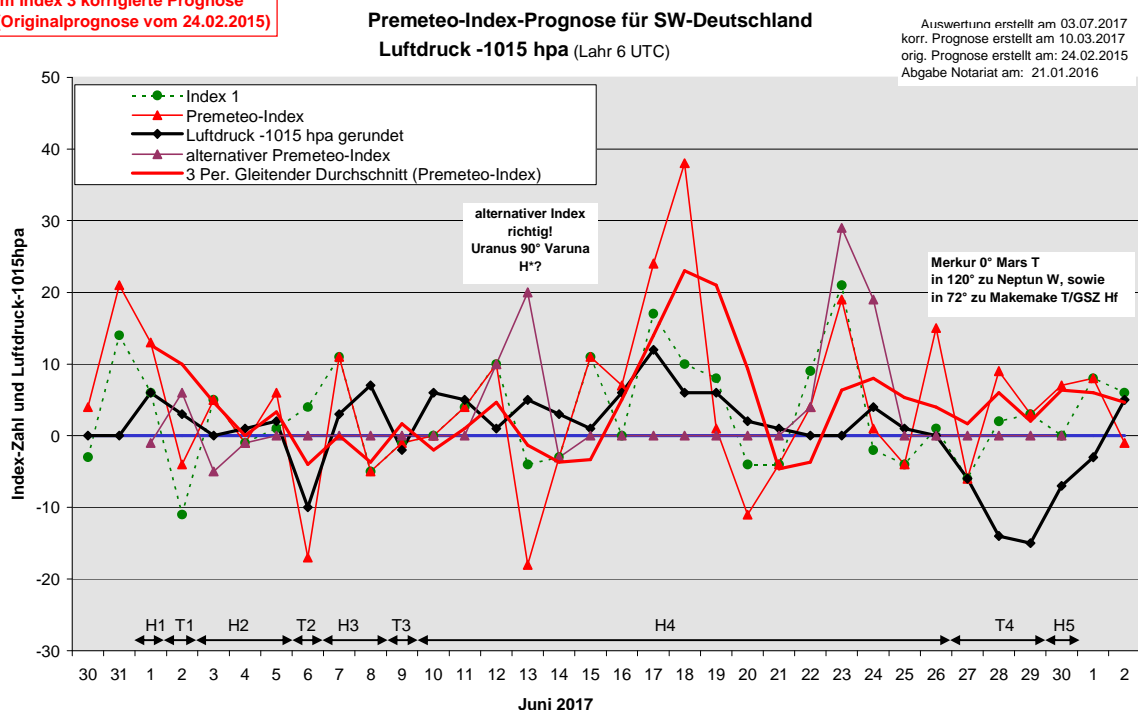
Wetterlagenverlauf Juni 2017 im Vergleich zur Premeteo-Indexprognose für Südwest-Deutschland

(Im Diagramm sind über der Datumsachse die real eingetreten Hoch- und Tiefdruckphasen durch Doppelpfeile eingetragen. Ausschlaggebend für die Evaluation ist der tägliche Premeteo-Index, in der dünneren, roten Linie mit Dreieckspunkten dargestellt. Ein negativer Premeteo-Index zeigt die Wahrscheinlichkeit für eine zyklonale Tiefdruckströmung, ein positiver Premeteo-Index die Wahrscheinlichkeit für eine antizyklonale Hochdruckströmung an.

Die Wetterlagenbeschreibungen wurden anhand der Berliner Wetterkarten erstellt. Ausschlaggebend ist die Europa-Bodenkarte um 0 UTC, die feiner skalierte 12 UTC-Karte von Mitteleuropa wird nur bei einem Wetterlagenwechsel für die Einordnung des Tages hinzugezogen. Am Ende des Dokuments befinden sich die Tabellen und Konstellationen, die dem Diagramm zugrunde liegen.)



Im Index 3 korrigierte Prognose
 (Originalprognose vom 24.02.2015)



Zusammenfassung: Der Juni 2017 war ein interessanter und durchaus auch zufriedenstellender Prognosemonat.

Interessant war vor allem der zu erwartende Unterschied zwischen der im Index 3 korrigierten und der unkorrigierten Prognose. Die beiden Prognosen unterschieden sich ab dem 14. Juni deutlich. Die unkorrigierte Originalprognose hatte sehr viel höhere, positive Premeteo-Indexwerte in der zweiten Monatshälfte als die korrigierte. Der Verlauf des Luftdrucks zeigte, dass die korrigierte Variante sehr viel näher am realen Verlauf des Wetters orientiert war. Trotzdem kam es in der Statistik bezüglich des richtig prognostizierten Wetterlagen-Vorzeichens zu einem Vorteil von drei Tagen.

Interessant war vor allem der zu erwartende Unterschied zwischen der im Index 3 korrigierten und der unkorrigierten Prognose. Die beiden Prognosen unterschieden sich ab dem 14. Juni deutlich. Die unkorrigierte Originalprognose hatte sehr viel höhere, positive Premeteo-Indexwerte in der zweiten Monatshälfte als die korrigierte. Der Verlauf des Luftdrucks zeigte, dass die korrigierte Variante sehr viel näher am realen Verlauf des Wetters orientiert war. Trotzdem kam es in der Statistik bezüglich des richtig prognostizierten Wetterlagen-Vorzeichens zu einem Vorteil von drei Tagen.

Man kann in den Auswertungs-Diagrammen gut erkennen, dass der Monat durch eine ungewöhnlich lange Hochdruckwetterphase vom 10. bis zum 26. Juni gekennzeichnet war. Da, wo die Originalprognose nur abwärts gerichtete Spitzen innerhalb des positiven Bereichs zeigte, reichte der korrigierte Premeteo-Index an diesen Tagen (am 20., 21. und 25.) bis in den negativen Bereich. Der Verlauf des relativ niedrigen Luftdrucks zeigte, dass die korrigierten Werte des Premeteo-Index die lang anhaltende Hochdruckwetterlage zwar schwächten, aber keine Wende zu einer zyklonalen Strömung erreichen konnten.

Der Verlauf der Originalprognose mit den sehr hohen, positiven Werten korrespondierte zu der lang anhaltenden Hochdruckwetterphase, die der Juni 2017 aufwies. Sie zeigt, dass die in der korrigierten Prognose eliminierten H-Aspekte im Index 3 doch im Hintergrund anwesend waren und die Hochdruckwetterlage stabilisierten und damit in der Statistik der richtigen und falschen Prognostetage bezüglich des Premeteo-Index-Vorzeichens mit 24 richtig prognostizierten Tagen ein sehr gutes Ergebnis lieferten.

Bei der Statistik des monatlich gemittelten Premeteo-Index in den real abgelaufenen Hoch- und Tiefdruckwetterlagen zeigt sich seit Januar 2017 bei den korrigierten Prognosen jedoch ein deutlich harmonischeres Bild als bei den unkorrigierten Prognosen! Und diese Statistik ist im Grunde die Aussagekräftigere, weil sie zeigt, dass die realen Tiefdruckwetterlagen tatsächlich mit einer größeren Häufung von Tiefdruck-Aspekten als von Hochdruck-Aspekten einhergehen und dass dies sichtbar wird, wenn der monatlich gemittelte Premeteo-Index einen negativen Wert annimmt oder deutlich kleiner ist als der gemittelte Premeteo-Index der Hochdruckwetterphasen des bestimmten Monats.

(Die Diagramme der beiden erwähnten Statistiken für die Originalprognose und die korrigierte Prognose sind am Ende des Dokuments abgebildet.)

Die heißesten Tage des Monats waren vom 20. bis 23. als der korrigierte Premeteo-Index innerhalb der 17-tägigen Hochdruckphase 4 in den negativen Bereich trat. Am 20. wurde Venus 60° Neptun HW exakt, während Neptun 90° Apogäum H* am 22. und Neptun 135° Varuna H* am 23. exakt wurden. Wegen Neptun 72° Sedna T?* wurden beide nur im alternativen Index angerechnet, (aber am 22. versäumt einzutragen!) Die Regel, beide H*-Aspekte wegen des T?*-Aspekts nicht anzurechnen, hatte hier nicht funktioniert. Die Frage, ob Neptun 72° Sedna tatsächlich ein T*-Aspekt ist, bleibt weiter offen. Die beiden kältesten Tage waren der 6. und 7. mit Merkur 30° Venus TK und Pallas 0° Orcus A*. Der tiefste Luftdruck wurde am Abend des 28. erreicht mit (Merkur 0° Mars T) 120° Neptun. Der höchste Luftdruck trat am 17. mit drei H*-Aspekten im Bereich der Asteroiden ein: Juno 60° Neptun, Pallas 120° GaZ, Vesta 150° Makemake.

Beschreibung der einzelnen Wetterphasen:

Hochdruckphase 1: Hoch Xenia mit Kern über der Nordsee setzte am 1. Juni die Hochdruckphase der letzten drei Maitage in Übereinstimmung mit dem Premeteo-Index noch einen Tag fort. Der Index hatte einen Wert von +13.

Tiefdruckphase 1: Eine schmale T-Rinne zog sich am 2. über Südwestdeutschland bei einem Premeteo-Index von -4.

Hochdruckphase 2: Am 3. Juni befand sich unsere Region in einer schmalen, flachen Hochdruckbrücke zwischen Tief Heinrich mit Kernen über dem Nordostatlantik, Großbritannien und den Benelux-Ländern und einer flachen Tiefdruckzelle über der Nordadria. In der Nacht und am Vormittag des 4. war Tief Heinrich mit Kernen über Nordostdeutschland, Nordsee und Nordostatlantik bis in unsere Region mit kräftigen Niederschlägen wetterwirksam, doch setzte sich bis 12 UTC die Hochdruckströmung von Hoch Yannika schon ganz schwach durch. Der Premeteo-Index hatte einen Wert von -1. Am 5. dehnte sich um 0 UTC Hoch Yannika nun mit Kern über Südostdeutschland/Tschechien über ganz Deutschland aus und wanderte dann weiter nach Osten ab. Der Premeteo-Index summierte über die dreitägige Hochdruckphase auf +10.

Tiefdruckphase 2: Am 6. gab es bei der Prognose eine ausgeprägte, eintägige Spitze in den negativen Bereich, und der Verlauf des Luftdrucks durch Tief Ingraban über Großbritannien bildete das genau ab. Der Premeteo-Index hatte einen Wert von -15 / korr. -17.

Hochdruckphase 3: Noch begleitet von kräftigem Wind, ergiebigen Schauern mit Gewittern und steigendem Druck am Vormittag, dehnte sich Hoch Zalia über der Biskaya am 7. bis in unsere Region aus. Am 8. lag ihr Kern bereits über den Ostalpen. Der Premeteo-Index lag bei -2 / korr. -5, und der Himmel war am Vormittag durchgehend von milchiger Schleierbewölkung bezogen, die sich am Nachmittag bei einsetzendem Luftdruckfall auflöste.

Tiefdruckphase 3: Am 9. brachte Tief Jörn mit Kern über dem Ostatlantik und Schottland Gewitter und Niederschlag. Der Premeteo-Index hatte einen Wert von -3 / korr. -1.

Hochdruckphase 4: Mit Hoch Anni über Frankreich kehrte am 10. bereits wieder eine klare Atmosphäre mit Sonnenschein zurück. Der Hochdruckkern wanderte weiter nach Tschechien. Am 12. geriet Südwestdeutschland vorübergehend in den Einflussbereich von Tief Karl über Schottland, doch bis 12 UTC hatte Azorenhoch Babara seine Isobaren schon über unsere Region ausgebreitet und bestimmte auch am 13. die Wetterlage. Dieser Tag hatte neben einem Premeteo-Index von -18 auch einen alternativen Index von +20. Nach den bisher guten Erfahrungen mit Neptun 72° Sedna als T*-Aspekt dürfte in diesem Fall die Symmetrie Merkur 45° Uranus Varuna TTH?* die größere Rolle gespielt haben. Uranus 90° Varuna trägt wahrscheinlich einen H-Impuls. Jupiter 60° Mondapogäum H* im Index 1 hat möglicherweise einen starken Lokalbezug. Am 14. lag der Kern von Hoch Barbara über Westdeutschland und wanderte bis zum 15. weiter nach Polen und blieb zunächst wetterbestimmend. Das etwas mehr ausgeprägte Wellental des geglätteten, korr. Premeteo-Index vom 13. bis 15. fand seinen Niederschlag in der leicht fallenden Luftdruckkurve, aber die antizyklonale Strömung blieb erhalten. Am 16. setzte sich schließlich Hoch Concha mit Kern über der Biskaya durch und der damit verbundene, kräftige Luftdruckanstieg fand auch beim Premeteo-Index seine Analogie. Hoch Concha erreichte Westdeutschland mit seinem Kern am 18., als der Premeteo-Index die größte Antizyklonalität anzeigte, aber der Luftdruck fiel bereits wieder. Allerdings fiel er nicht so stark, wie vom korrigierten Premeteo-Index erwartet. Der Kern von Hoch Concha hatte sich zwar am 20. bis zum Balkan verlagert, doch blieb eine flache, antizyklonale Strömung über unserer Region bestehen. Die Merkur-T-Aspekte und die Merkur-T-Symmetrie, die für den negativen, korr. Premeteo-Index verantwortlich waren, setzten sich nicht völlig gegen die bestehende, antizyklonale Strömung durch. Dies entsprach dem geglätteten, korr. Premeteo-Index, der sein Wellental erst in einer Verschiebung um zwei Tage am 21./22. Juni ausbildete. Am 21. lag Hoch Deike über der Nordsee und stabilisierte ebenfalls die Atmosphäre. Neben den T-Aspekten hatte der Tag auch zwei H-Aspekte: Merkur 0° Sonne und Neptun 90° Apogäum. Es kam zu hochsommerlichen Temperaturen über 30°C. Der Kern von Hoch Deike erreichte am 22. Tschechien und in der Nacht zum 23. erstreckte sich der Isobarenbereich von Tief Paul bei

Dänemark über ganz Deutschland. Bis 12 UTC hatte sich aber bereits das Azorenhoch bis über Südwestdeutschland ausgedehnt und so musste der Tag für unsere Region der anhaltenden Hochdruckphase zugeordnet werden. Der Luftdruck stieg zum 24. noch an, und das Azorenhoch reichte flach über ganz Deutschland. Um 0 UTC am 25. reichte es nur noch über den Südwesten und Süden Deutschlands. Es war stark, oft dicht bewölkt und der korrigierte Premeteo-Index lag mit seinen Wert von -4 näher am Verlauf des realen Wettergeschehens als der unkorrigierte Index. Dennoch verblieb die Strömung im flach antizyklonalen Modus. Die Antizyklonalität verstärkte sich bei fallendem Luftdruck zum 26., als der Kern der Hochdruckströmung um 0 UTC über Südwestdeutschland lag. Der korrigierte Premeteo-Index zeigte an diesem Tag auch noch mal eine deutliche Spitze in den positiven Bereich. Der Premeteo-Index summierte über die 17-tägige Phase auf +428 / korrigiert auf +94.

Tiefdruckphase 4: Am 27. vollzog sich die Umstellung zur zyklonalen Strömung durch Tief Rasmund westlich Irlands. Hier zeigte es sich wieder, dass der korrigierte Index die reale Wetterlage besser wiedergab. Allerdings entwickelte sich die Zyklonalität dann deutlich kräftiger, als auch der korr. Index erwarten ließ. Dies ging mit starken konvektiven Energieumsetzungen in der Atmosphäre einher. Am 28. zeigte sich auf 500 hpa ein umfangreicher Trog, der ganz Europa umfasste und sich nur langsam nach Osten verlagerte. Merkur trat am 28. in Konjunktion mit Mars, ein Tiefdruckaspekt. Dies geschah in 120° zu Neptun (exakt um 00:24 UTC am 28.), aber auch in 72° zu Makemake T und dem Supergalaktischen Zentrum GSZ Hf, Aspekte, die sich durch ihre widersprechenden Impulse auszeichneten (exakt am 30. um 18:40 und 23:28 UTC). Der Premeteo-Index summierte über die 3-tägige Tiefdruckphase auf +84 / korr. auf +6.

Hochdruckphase 5: Der H*-Aspekt Ceres 72° Orcus, der am 29. exakt wurde, schien seinen Einfluss erst am 30. in der Bodenatmosphäre bemerkbar zu machen. Bei zwar noch immer tiefem Luftdruck lockerte ein flacher Keil des Azorenhochs die Bewölkung auf und der Tagesgang des Luftdrucks zeigte den typischen Aufschwung antizyklonaler Tage um 12 UTC und den Abschwung zu 18 UTC. Der Premeteo-Index hatte einen Wert von 33 / korr. +7.

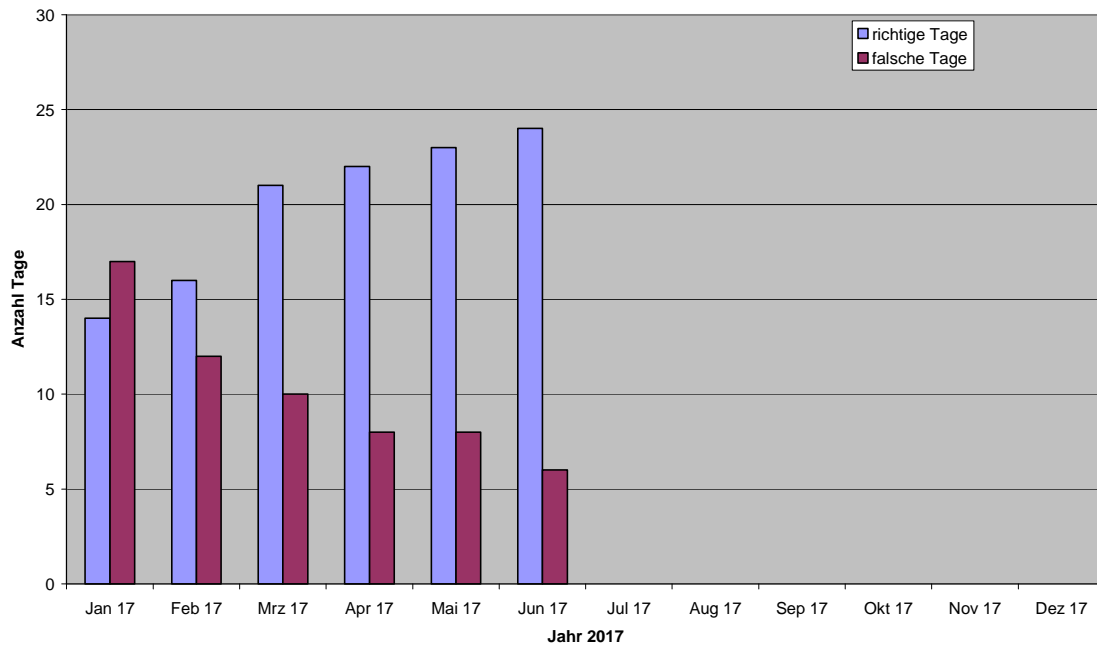
SW-D befand sich an 24 Tagen im Einflussbereich antizyklonaler Strömung. Die Summe des prognostizierten Premeteo-Index für diese Tage ergab +495 / korr. +130. Dies entsprach einer Indexzahl von +20,63 / korr. +5,42 pro Tag.

An 6 Tagen befand sich SW-D im Einflussbereich zyklonaler Strömung. Die Summe des prognostizierten Premeteo-Index für diese Tage ergab +62 / korr. -14. Dies entsprach einer Indexzahl von +10,33 / korr. -2,33 pro Tag.

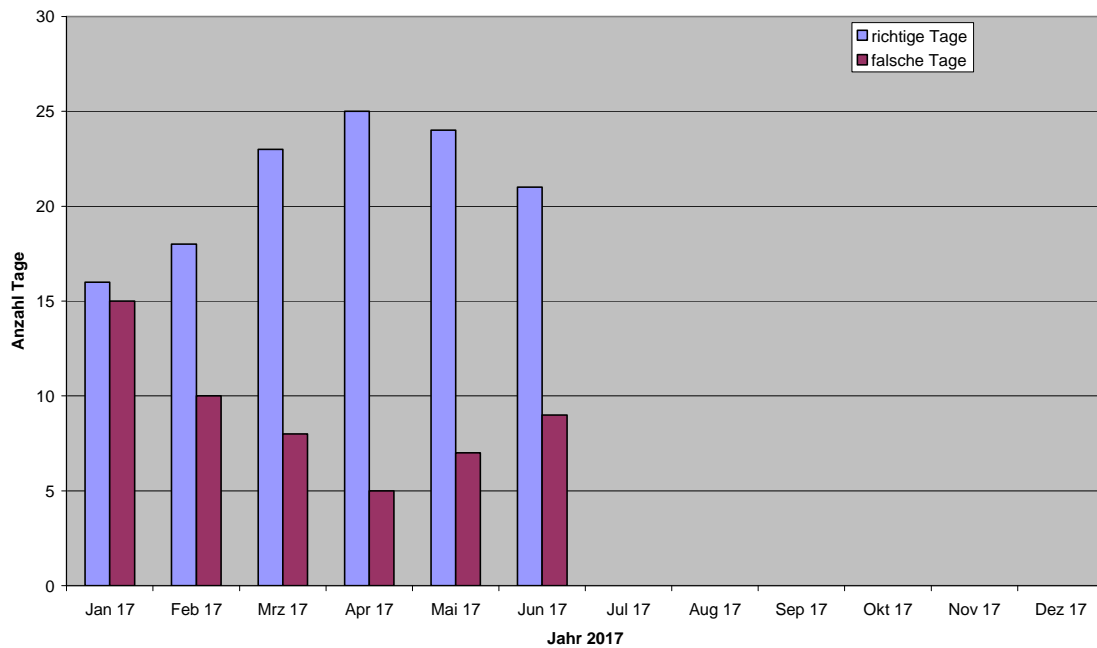
Die Prognose durch die Premeteo-Wettersymbole war an 2 / korr. 3 Tagen falsch (am 7. und am 13., korr. am 7., 13. und am 20.), an 15 Tagen richtig und an 13 / korr. 12 Tagen tendenziell richtig.

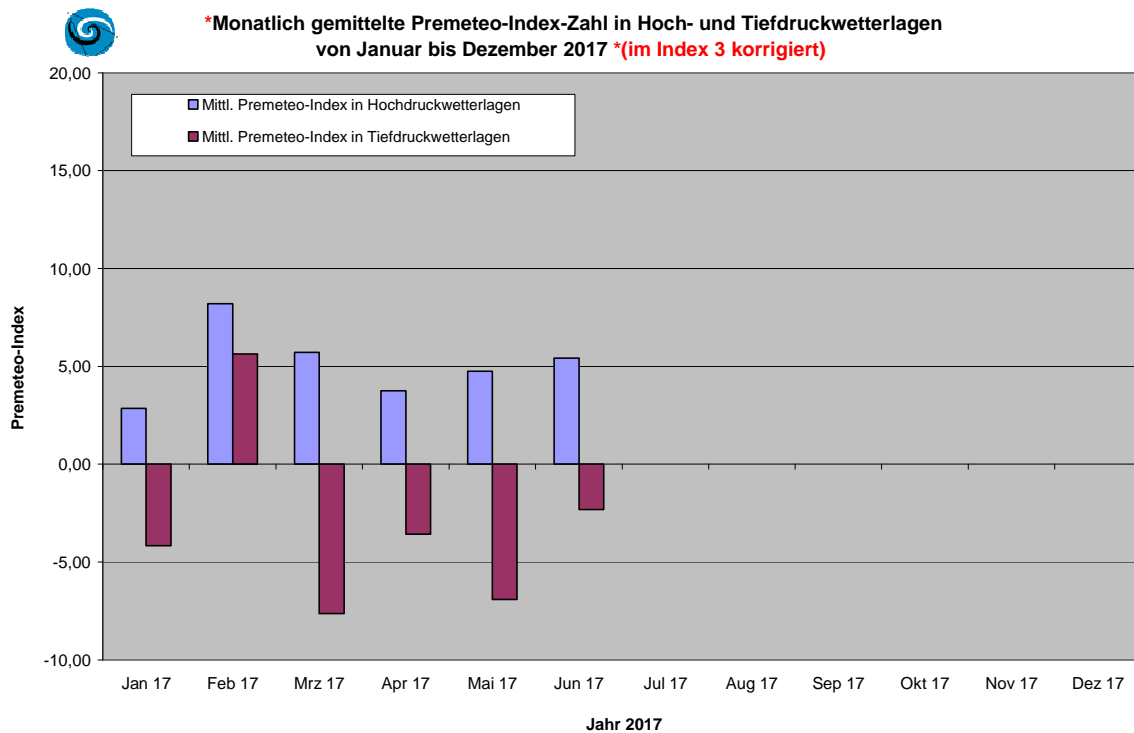
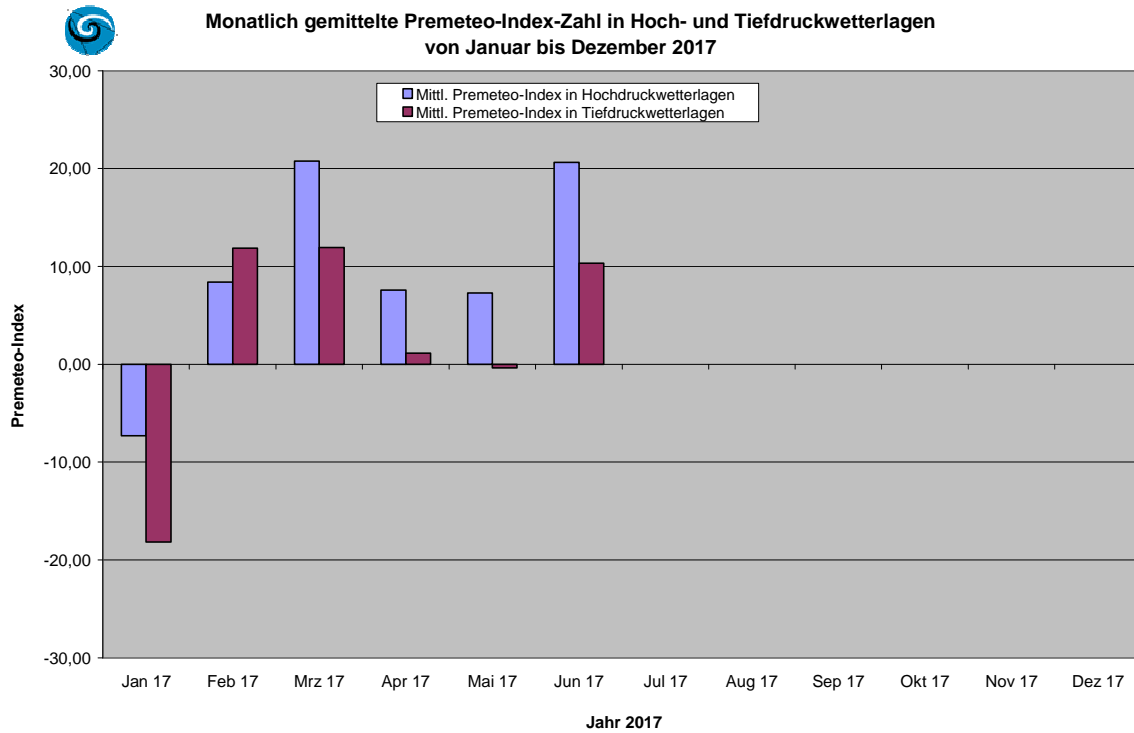
Es folgen auf den nächsten Seiten noch die oben in der Zusammenfassung erwähnten Diagramme, die Tabellen zur Originalprognose, zur korrigierten Prognose und die Auflistungen der Fehlprognosetage.

Jahr 2017: Richtige und falsche Tage bezüglich des Premeteo-Index-Vorzeichens



*Jahr 2017: Richtige und falsche Tage bezüglich des Premeteo-Index-Vorzeichens *(korrigiert im Index 3)





03.07.2017

Juni 2017

01.06.2017



Prognose für SW-Deutschland

Der ganze Monat ist gekennzeichnet durch die Konjunktion von Makemake mit dem Supergalaktischen Zentrum. Durch diese Konjunktion wird ab dem 14. Apo 72 GSZ H13 ausgelöst und ab dem 19. noch zusätzlich Kn2 144 GSZ H13. Im alternativen Premeteo-Index werden diese zwei Auslösungen zum Vergleich weggelassen, da der Mondknoten und das Mondpogäum "nur" raumgeometrische Punkte sind. Der Premeteo-Index befindet sich nur an 5 Tagen im negativen Bereich, während der alternative Index dann an 8 Tagen Werte kleiner 0 erreicht.
 Vom 4. bis 10. Pallas 0° Eris. Vom 17. bis 23. Pallas 0° Uranus.

Langsamläufer-Impulse		H*			H*						
Schnellläufer-Impulse	T, Tf	H, T, Hf	2T, 2H	2T, H	H, T	T, H, Hf	2H, 2T	H, 3T		T	
Temperaturimpulse	W?*	K*	2K?	2W		3W	K			W	
Premeteo-Index - zyklonal, + antizyklonal (Index 1+2+3)	13	-4	5	-1	6	-15	13	-2	-3	0	
Pre.IX (ALTERNATIV)	-1	6	-5								
Index 1 (12 - 12 UTC) exakte Aspekte des Tages	6	-11	5	-1	1	4	11	-5	-1	0	
Index 1(ALTERNATIV)	-1	-1	-5								
Symmetrien (0 - 0 UTC)	Ven 2 Ura Eri (11) T H ? Eri 2 Ven Pal (13) H A* +7/0 Hau 179 Pal Eri (20) A ? ?	Mer 67 Nep Var (01) H* -- Mar 20p Qua GaZ (11) A H +7	Son 46 Ura Var (09) A A H*(4,5/1) -- Son 46 Ven Var (10) A K A H --		Mar 67 Orc Eri (07) ? --	Ven 46 Nep Cer (05) T T H* -14 Mer 60 Chi Var (06) A W H H*(8/0,5) -- Ven 46 Son Nep (08) A K T T -7	Ura 4 Ven Pal (02) T A* -?? Ura 4 Ven Eri (03) T A*(2/1) -7? Ven 134 Chi GaZ (21) A* H* ? -- Mer 30 Ven Mar (23) T K A A W (-7)	Sat Top Son Mar (07) H A +7?			GaZ Top Son Mar (17) A H +7?
Index 2 (12 -12 UTC)	7	7	0	0	0	-21	0	0	0	0	
Index 2 ALTERNATIV	0										
ausgelöste Aspekte (= durch Konjunktionen aktivierte Aspekte)			Ura 30 Sed A*(3/3) Ura 120 GaZ A*(2/2)	Ura 30 Sed A*(3/3) Ura 120 GaZ A*(2/2) Hau 180 Eri ?*	Cer 90 Nep H5 Nep 72 Sed T*(0,5/2) Sed 150 GaZ ? Hau 180 Eri ?*	Ven 45 Cer T-2 Hau 180 Eri ?* Mar 90 Mak H +4	Ven 45 Cer T-2 Hau 180 Eri ?* Mar 90 Mak H +4	Mer 120 GSZ H1 Ven 150 GSZ T-2 Hau 180 Eri ?*	Ven 150 GSZ T-2 Hau 180 Eri ?*	Hau 180 Eri ?*	
Index 3 (Summe)	0	0	0	0	5	2	2	3	-2	0	
Index 3 ALTERNATIV											
Symbol-Prognose	2	3	3	3	3	3	2	3	3	3	
Symbol-Prognose altern.	3	3	3	3	3	3	2	3	3	3	
Wochentag	Do	Fr	Sa	So	Mo	Di	Mi	Do	Fr	Sa	
Datum	1	2	3	4	5	6	7	8	9	10	
reale Wetterlage	H1: T, Tf / +13	T1: T - H*, Hf, H / -4	H2: H*, 4H - 5T / +10			T2: T - H, Hf / -15	H3: 3H - 5T / +11		T3: - / -3	H4: -->	
Luftdruck (hpa) 06 UTC	1021,3	1018,1	1014,7	1015,9	1016,5	1004,9	1017,7	1021,5	1012,6	1021,4	
mittl. Temp.(°C)	20,9	20,9	20,1	17	16,3	14,8	14	17	18,1	18,5	
Sonnenscheindauer (h)	5,3	5	6,9	7,5	6,6	4	5,6	14,1	4,2	14,5	
Niederschlag (Liter)	0	0,3 / 1	17,7	3,2 / 25	0,4 / 0,5	3,9 / 2	0,7	0	3,7 / 9,5	0	
Bodenwetterlage 00 UTC (Kernlage des Druckgebiets, das SW-D beeinflusst)	H ü Nsee	T-Rinne von F ü SW-D bis N-Balk	schr H-Brücke zw T ü N-Atl, GB, Benel u T ü N-Adria	T ü NO-D	H ü SO-D, Tschech	T ü GB	H ü Bisk, T ü Nsee	H ü O-Alpen	T ü O-Atl-Schottl, H ü O-Alp - Kaparten	H ü F	
Bodenströmung 12 UTC zyklonal (z), antizyklonal (a)	a	fl z	fl a	fl a	fl a	z	fl a	fl a	a-z	a	
Strömung auf 500 hpa 00 UTC	a-z	a-z	SW a	SW a-z	SW a-z	SW z	W z	W a	SW fl a	SW z	
zutreffende Wettersymbole	2-5 hr	3 r	3 r	3 r	3-5 hr	3-5 r	3-5 f	2 hr	3-5 hr	2 hr	

Übertrag	05:19	03:25	04:48	00:28	03:38	00:17	00:01	03:28	11:57	00:44
Index 1: +6	SON 144 JUN ZWI 10°55'02" STE 16°55'03" A	PAL 135 ORC WID 22°07'30" JUN 07°07'30" A*	VEN 120 GaZ WID 26°59'23" SCH 26°59'24" A	CHI 72 JUN FIS 28°32'23" STE 16°32'23" A*	VEN 90 VAR WID 28°52'14" KRE 28°52'14" H+2	SON 0 CER WID 15°30'16" WID 23°42'46" A W	PAL 0 ERI WID 23°42'46" WID 23°42'46" A*	MAR 90 GSZ KRE 02°18'05" WAA 02°18'06" A	SON 150 PLU WID 18°50'19" STE 18°50'20" A*	CHI 135 VES FIS 28°39'58" LÖW 13°39'58" A*
Index 2: 0	VEN 120 SAT WID 25°30'26" SCH 25°30'25" T 0 / -7	VEN 30 SED WID 27°05'58" STI 26°07'36" H+2	VEN 0 URA WID 27°05'58" WID 27°05'58" T K? -4	PAL 180 EL6 WID 22°49'26" WAA 22°49'26" A*	MER 150 GaZ STI 26°59'23" SCH 26°59'24" A	MER 60 CHI STI 28°35'15" FIS 28°35'17" A W	MER 72 VES WID 12°32'45" LOW 12°32'45" H+1	MER 120 GSZ ZWI 00°32'46" WAA 02°18'06" H+1	VEN 60 MAR STI 03°18'07" KRE 03°18'07" A W	SAT 120 PAL SCH 24°51'50" WID 24°51'50" A*
	MER 144 GaZ STI 20°59'21" SCH 26°59'23" A	SON 45 URA ZWI 12°03'36" WID 27°03'35" A	SON 144 PLU ZWI 12°57'33" STE 18°57'33" A K?	SON 45 VAR ZWI 13°51'15" KRE 28°51'16" A	JUP 72 SAT WAA 13°14'36" SCH 25°14'36" A*	MER 144 EL6 STI 28°48'06" WAA 22°48'08" A	CER 150 JUN ZWI 16°02'43" STE 16°02'43" A*	MER 30 MAR ZWI 02°19'08" KRE 02°19'08" A	MER 90 ORC ZWI 07°10'29" JUN 07°10'27" T-1	MER 135 EL6 ZWI 07°45'23" WAA 22°45'21" A
	URA 135 APO WID 27°02'17" SCH 12°02'17" A*	MAR 90 CHI STI 28°30'05" FIS 28°30'05" A	MER 30 ERI STI 23°41'11" WID 23°41'11" H+1	MER 150 SAT STI 25°19'06" SCH 25°19'04" T-1	MER 30 URA STI 27°11'18" SCH 27°11'17" A W?	VEN 120 QUA STI 00°00'37" STE 00°00'37" T-2	VEN 45 CER STI 01°06'07" ZWI 16°06'07" T-2	VEN 150 FY9 STI 01°52'10" WAA 01°52'09" T-2	MAR 135 JUN ZWI 01°01'01" STE 16°01'01" A	VEN 150 GSZ STI 02°18'07" WAA 02°18'06" T-4
	MAR 60 KN1 ZWI 28°10'56" LÖW 28°10'55" Tf -10/0	SON 180 APO ZWI 12°05'50" SCH 12°05'49" T-3	VEN 135 APO WID 27°12'19" SCH 12°12'19" T-4	VEN 120 KN1 WID 28°03'25" LOW 28°03'25" A W	VEN 45 NEP WID 28°13'56" FIS 14°13'56" T ---	MER 60 VAR STI 28°53'32" KRE 28°53'34" H+1	MER 135 JUN ZWI 01°01'01" STE 16°01'01" A	VEN 150 GSZ STI 01°01'01" WAA 02°18'06" T-4	MAR 90 FY9 WAA 01°52'16" LÖW 13°13'01" A*	JUP 60 VES WAA 13°13'02" LÖW 13°13'01" A
	SAT 135 VES SCH 25°29'05" LÖW 10°29'05" A*	MER 30 PAL STI 22°14'32" WID 22°14'31" A	MER 144 QUA STI 24°03'42" STE 00°03'43" H+2	SON 90 NEP WID 14°13'38" FIS 14°13'37" T-3	MER 90 KN1 STI 27°58'40" LÖW 27°58'38" A	SON 72 KN1 ZWI 15°56'33" LÖW 27°56'33" A W	MAR 90 FY9 KRE 01°52'17" WAA 01°52'16" H+4	JUP 60 VES WAA 13°13'02" LÖW 13°13'01" A*	MAR 135 PLU WAA 13°13'02" STE 18°50'58" T-1	MER 120 FY9 ZWI 01°52'11" WAA 01°52'11" A
	CER 45 VAR ZWI 13°48'44" KRE 28°48'45" A* W?	MER 150 EL6 WAA 22°50'25" A	SON 120 JUP WAA 13°16'08" A W	MAR 180 QUA KRE 00°02'24" STE 00°02'25" H* +5	VEN 135 GaZ LÖW 11°59'24" SCH 26°59'24" H* +5	SON 150 JUN ZWI 16°08'35" STE 16°08'35" Hf +9	VEN 120 APO WID 12°39'38" SCH 12°39'38" A*	MER 135 PLU LÖW 12°39'38" STE 18°50'58" T-1	MER 120 FY9 ZWI 01°52'11" WAA 01°52'11" A	MER 135 VES WAA 13°13'02" LÖW 13°13'01" A
	VEN 72 EL6 LÖW 10°50'23" WAA 22°50'24" A*	MAR 30 VAR ZWI 28°49'46" KRE 28°49'46" Hf +10/0	MER 0 SED STI 26°09'29" STI 26°09'30" H+2	MER 135 JUP STI 28°14'11" WAA 13°14'10" A	MER 150 QUA STI 29°59'55" SCH 29°59'56" T K-1	MER 30 VEN ZWI 01°17'12" STI 01°17'11" T K-1	MER 90 FY9 ZWI 01°52'11" WAA 01°52'11" A	MER 120 FY9 ZWI 01°52'11" WAA 01°52'11" A	MER 135 VES WAA 13°13'02" LÖW 13°13'01" A	MER 135 VES WAA 13°13'02" LÖW 13°13'01" A
	MAR 30 VAR ZWI 28°49'46" KRE 28°49'46" Hf +10/0	NEP 90 CER FIS 14°12'55" ZWI 14°12'55" H* K* +5	MER 72 NEP STI 26°13'39" FIS 14°13'41" A W							

Juni 2017



Prognose für SW-Deutschland

Der ganze Monat ist gekennzeichnet durch die Konjunktion von Makemake mit dem Supergalaktischen Zentrum. Durch diese Konjunktion wird ab dem 14. Apo 72 GSZ H13 ausgelöst und ab dem 19. noch zusätzlich Kn2 144 GSZ H13. Im alternativen Premeteo-Index werden diese zwei Auslösungen zum Vergleich weggelassen, da der Mondknoten und das Mondopagium "nur" raumgeometrische Punkte sind. Der Premeteo-Index befindet sich nur an 5 Tagen im negativen Bereich, während der alternative Index dann an 8 Tagen Werte kleiner 0 erreicht.
 Vom 4. bis 10. Pallas 0° Eris. Vom 17. bis 23. Pallas 0° Uranus.

Langsamläufer-Impulse	H*	H*	T?*		H*		3H*		3H*	
Schnellläufer-Impulse	Hf	2H	3T, H		T, H		H		H	
Temperaturimpulse		W	W		K, W		2W, K		2K, 2W	
Premeteo-Index zykonal, + antizykonal (Index 1+2+3)	4	10	-18		10		24		25	
Pre.IX (ALTERNATIV)			20		-3		11		12	
Index 1 (12 - 12 UTC) exakte Aspekte des Tages	4	10	-4		-3		11		0	
Index 1 (ALTERNATIV)			6							
Symmetrien (0 - 0 UTC)	Ves 136 Chi Qua (15) A* A* ? ...	Ves 150 Nep Jun (14) H* A* H* (+7) Pal 2 Ura Eri (23) A* A* Auslösung Index 3	GaZ 9ep Mar Cer (00) H H* +7? Mar 23 Var Mer (04) T --- Mar 9ep Jun GaZ (16) H H +7? Mer 46 Ura Var (16) T T H*(4,5/1)-14+14	Cer 4 Son Mer (07) A W H +7?	Mar 7op Jun Qua (13) H A +7?	Son 1op Sat GaZ (16) H A +7 Sat 30 Son Pal (18) A H* A +7	Sat 2op Son Mer (18) H H +14 Ven 14 Pal Sed (23) H* +14	Son 3op Sat Qua (02) H A (+7) Qua 9ep Mar Cer (04) A H* +7? Ven 14 Ura Sed (05) Sat 120 Eri T A*(3/3) Jup 151 Ven Nep (14) Tst K T* H W -14 Mer 3 Son Cer (20) H H +14 Chi 89 Son Qua (22) A W ? A ...	GaZ 3 Sat Qua (07) H* (7,5/0,5) H*(142) ? Wegen Auslösung Sat 120 Eri T Mer top Sat GaZ (10) H T ? GaZ top Son Mer (10) A T -7	Mer 3op Sat Qua (01) H A --- Chi 89 Qua Mer (11) ? A K A --- Jun 164 Var Mer (12) H --- Mer 10p Qua GaZ (16) A T -7
Index 2 (12 - 12 UTC)	0	0	-14		0		0		7	
Index 2 ALTERNATIV			14							
ausgelöste Aspekte (= durch Konjunktionen aktivierte Aspekte)		Hau 180 Eri ?			Apo 72 GSZ H13		Apo 72 GSZ H13 Ves 45 Mak H* +5	Ves 45 GSZ H5 Apo 72 GSZ H13 Ura 120 GaZ A*(2/2) Ves 45 Mak H* +5	Ves 45 GSZ H5 Ura 120 GaZ A*(2/2) Ves 45 Mak H* +5	Ves 45 GSZ H5 Apo 72 GSZ H13 Kn2 144 GSZ H13 Ura 120 GaZ A*(2/2) Ves 45 Mak H* +5
Index 3 (Summe)	0	0	0		13		13		23	
Index 3 ALTERNATIV	3	2	3		0		0		5	
Symbol-Prognose	3	2	3		2		2		2	
Wochentag	Son	Mo	Di		Mi		Do		Fr	
Datum	11	12	13		14		15		16	
reale Wetterlage	Hf*, 13H*, 3Hf, 16H - 4T*, Tf, 18T / +428									
Luftdruck (hpa) 06 UTC	1019,9	1015,5	1019,7		1018,4		1016,2		1020,9	
mittl. Temp.(°C)	22,2	21,5	18,5		20,3		22,7		20	
Sonnenscheindauer (h)	12,4	8,2	13,6		11,1		11,6		10,4	
Niederschlag (Liter)	0	0	0		0		8,3 / 14		0	
Bodenwetterlage 00 UTC (Kernlage des Druckgebets, das SW-D beeinflusst)	H ü Tschech	T ü Schottl, H ü Balkan	H ü NW-F		H ü W-D		H ü W-Polen, T ü Ärmel		H ü Bisk, T ü S-Skand	
Bodenströmung 12 UTC zykonal (z), antizykonal (a)	a-z	a	a		fl z		fl z		a	
Strömung auf 500 hpa 00 UTC	NW a	W a-z	W a-z		W a		NW fl a		W a-z	
zutreffende Wettersymbole	2 hr	2-5 hr	2f		2 r		2 r		2-3 r	

11:04 MER 45 ERI ZWI 08*44'35" WID 23*44'33" A	06:51 MER 45 PAL ZWI 10*24'48" WID 25*24'47" H +1	00:53 VES 135 QUA LÖW 14*52'54" SCH 29*52'54" A*	01:02 MER 45 VAR ZWI 14*02'52" KRE 29*02'49" T -2	00:45 PAL 30 SED WID 26*17'03" STI 26*17'03" H* +5	04:15 SON 72 ORC ZWI 25*13'11" JUN 07*13'10" H* +5	02:58 NEP 60 JUN FIS 14*15'54" STE 14*15'54" A	00:46 SON 180 GAZ ZWI 26*59'26" SCH 26*59'27" A	03:54 MAR 72 PAL KRE 09*34'41" WID 27*34'41" A	01:05 MER 180 GAZ ZWI 26*59'29" SCH 26*59'27" T -4
12:00 NEP 150 VES FIS 14*15'30" LOW 14*15'30" H* +5	10:19 MER 72 CHI ZWI 10*42'30" FIS 28*42'29" H W +2	04:14 NEP 72 SED FIS 14*15'43" WID 27*32'19" STI 26*15'43" T*(0,5/2) -10/0 A*	02:21 URA 120 KN1 WID 27*32'19" SCH 24*30'22" H +6	10:19 SON 180 SAT ZWI 24*30'22" SCH 24*30'22" H +6	05:36 MER 150 PLU ZWI 18*41'45" STE 18*41'45" A	06:41 PAL 120 GAZ WID 26*59'26" WAA 22*41'56" H* +10	02:00 MER 120 EL6 ZWI 22*41'58" WAA 22*41'56" A	06:00 MER 72 ORC ZWI 22*41'58" JUN 07*14'56" T -1	03:34 MER 60 KN1 WID 27*13'07" H --- WID 27*13'06"
17:37 MER 144 JUN ZWI 09*17'36" STE 15*17'38" Hf +7	15:02 JUP 60 APO WAA 13*13'49" SCH 13*13'49" H* +6	07:18 MER 45 URA WID 27*30'31" T -1	04:03 MER 90 NEP FIS 14*15'49" H K ---	17:21 MAR 60 ORC KRE 07*12'51" JUN 07*12'50" A	20:23 MER 0 CER ZWI 20*04'21" WID 20*04'21" H +2	07:41 SON 30 SED ZWI 26*18'40" STI 26*18'41" A	04:16 VEN 135 GAZ ZWI 11*59'26" SCH 26*59'27" A W	06:39 MAR 72 URA KRE 09*43'45" WID 27*43'44" A	07:51 VEN 150 APO STI 11*59'26" KRE 09*43'45" SCH 26*59'27" T K ---
08:41 MER 72 ERI KRE 05*45'16" WID 23*45'16" A	10:11 MER 144 JUN ZWI 12*45'27" STE 18*45'25" A W	04:03 MER 150 JUN WID 27*30'31" T -1	17:21 VEN 72 KN2 STI 09*27'08" WAS 27*27'09" A	13:46 VEN 135 SAT KRE 07*12'51" JUN 07*12'50" A	20:23 VES 45 FY9 LOW 16*51'34" WAA 01*51'34" H* +5	07:41 VEN 135 GAZ ZWI 11*59'26" SCH 26*59'27" A W	06:39 VEN 150 JUP STI 13*21'44" WAA 13*21'43" TI K -8	07:51 SON 30 VAR ZWI 29*10'55" KRE 29*10'54" A	08:27 VEN 150 APO STI 11*59'26" KRE 09*43'45" SCH 26*59'27" T K ---
12:26 VEN 120 ORC STI 07*11'46" JUN 07*11'47" A	15:37 SON 60 ERI WID 23*45'44" A	10:11 MER 144 PLU ZWI 12*45'27" STE 18*45'25" A W	14:26 VEN 144 GSZ STI 08*18'06" WAA 02*18'05" A W	17:21 VEN 135 SAT KRE 07*12'51" JUN 07*12'50" A	20:23 VES 45 FY9 LOW 16*51'34" WAA 01*51'34" H* +5	07:41 VEN 135 GAZ ZWI 11*59'26" SCH 26*59'27" A W	06:39 VEN 150 JUP STI 13*21'44" WAA 13*21'43" TI K -8	07:51 SON 30 VAR ZWI 29*10'55" KRE 29*10'54" A	08:27 VEN 150 APO STI 11*59'26" KRE 09*43'45" SCH 26*59'27" T K ---
13:46 SON 120 EL6 ZWI 22*43'60" WAA 22*43'59" H +3	17:40 MER 72 KN1 ZWI 15*30'20" WID 27*30'17" A	15:37 VEN 120 ORC STI 07*11'46" JUN 07*11'47" A	14:26 VEN 144 GSZ STI 08*18'06" WAA 02*18'05" A W	17:21 VEN 135 SAT KRE 07*12'51" JUN 07*12'50" A	20:23 VES 45 FY9 LOW 16*51'34" WAA 01*51'34" H* +5	07:41 VEN 135 GAZ ZWI 11*59'26" SCH 26*59'27" A W	06:39 VEN 150 JUP STI 13*21'44" WAA 13*21'43" TI K -8	07:51 SON 30 VAR ZWI 29*10'55" KRE 29*10'54" A	08:27 VEN 150 APO STI 11*59'26" KRE 09*43'45" SCH 26*59'27" T K ---
15:46 MER 120 JUP ZWI 13*14'29" WAA 13*14'28" A	18:39 MER 60 VES ZWI 15*35'31" LOW 15*35'32" A	17:40 SON 60 ERI WID 23*45'44" A	14:26 VEN 144 GSZ STI 08*18'06" WAA 02*18'05" A W	17:21 VEN 135 SAT KRE 07*12'51" JUN 07*12'50" A	20:23 VES 45 FY9 LOW 16*51'34" WAA 01*51'34" H* +5	07:41 VEN 135 GAZ ZWI 11*59'26" SCH 26*59'27" A W	06:39 VEN 150 JUP STI 13*21'44" WAA 13*21'43" TI K -8	07:51 SON 30 VAR ZWI 29*10'55" KRE 29*10'54" A	08:27 VEN 150 APO STI 11*59'26" KRE 09*43'45" SCH 26*59'27" T K ---
15:58 VEN 144 APO STI 07*20'46" SCH 13*20'46" T W -2	17:02 MER 180 APO ZWI 13*21'04" SCH 13*21'03" T -1	17:40 SON 60 ERI WID 23*45'44" A	14:26 VEN 144 GSZ STI 08*18'06" WAA 02*18'05" A W	17:21 VEN 135 SAT KRE 07*12'51" JUN 07*12'50" A	20:23 VES 45 FY9 LOW 16*51'34" WAA 01*51'34" H* +5	07:41 VEN 135 GAZ ZWI 11*59'26" SCH 26*59'27" A W	06:39 VEN 150 JUP STI 13*21'44" WAA 13*21'43" TI K -8	07:51 SON 30 VAR ZWI 29*10'55" KRE 29*10'54" A	08:27 VEN 150 APO STI 11*59'26" KRE 09*43'45" SCH 26*59'27" T K ---
17:37 VEN 144 APO STI 07*20'46" SCH 13*20'46" T W -2	17:02 MER 180 APO ZWI 13*21'04" SCH 13*21'03" T -1	17:40 SON 60 ERI WID 23*45'44" A	14:26 VEN 144 GSZ STI 08*18'06" WAA 02*18'05" A W	17:21 VEN 135 SAT KRE 07*12'51" JUN 07*12'50" A	20:23 VES 45 FY9 LOW 16*51'34" WAA 01*51'34" H* +5	07:41 VEN 135 GAZ ZWI 11*59'26" SCH 26*59'27" A W	06:39 VEN 150 JUP STI 13*21'44" WAA 13*21'43" TI K -8	07:51 SON 30 VAR ZWI 29*10'55" KRE 29*10'54" A	08:27 VEN 150 APO STI 11*59'26" KRE 09*43'45" SCH 26*59'27" T K ---
19:31 JUN 30 APO STE 13*55'10" SCH 13*55'10" H* +5	21:53 VES 45 GSZ LOW 17*18'04" WAA 02*18'04" H* +10	17:40 SON 60 ERI WID 23*45'44" A	14:26 VEN 144 GSZ STI 08*18'06" WAA 02*18'05" A W	17:21 VEN 135 SAT KRE 07*12'51" JUN 07*12'50" A	20:23 VES 45 FY9 LOW 16*51'34" WAA 01*51'34" H* +5	07:41 VEN 135 GAZ ZWI 11*59'26" SCH 26*59'27" A W	06:39 VEN 150 JUP STI 13*21'44" WAA 13*21'43" TI K -8	07:51 SON 30 VAR ZWI 29*10'55" KRE 29*10'54" A	08:27 VEN 150 APO STI 11*59'26" KRE 09*43'45" SCH 26*59'27" T K ---

Juni 2017



Prognose für SW-Deutschland

Der ganze Monat ist gekennzeichnet durch die Konjunktion von Makemake mit dem Supergalaktischen Zentrum. Durch diese Konjunktion wird ab dem 14. Apo 72 GSZ H13 ausgelöst und ab dem 19. noch zusätzlich Kn2 144 GSZ H13. Im alternativen Premeteo-Index werden diese zwei Auslösungen zum Vergleich weggelassen, da der Mondknoten und das Mondapogäum "nur" raumgeometrische Punkte sind. Der Premeteo-Index befindet sich nur an 5 Tagen im negativen Bereich, während der alternative Index dann an 8 Tagen Werte kleiner 0 erreicht. Vom 4. bis 10. Pallas 0° Eris. Vom 17. bis 23. Pallas 0° Uranus.

Langsamläufer-Impulse	T*, H*	H*	Hf*, 2H*	2T*					H*	
Schnellläufer-Impulse	2H, 2T	T	2H, T, Hf	T, H	Hf, H	2T	Hf, T	H, T		T, Hf
Temperaturimpulse	K					W	W*	W	W	K
Premeteo-Index -zyklonal, + antizyklonal (Index 1+2+3)	27	30	55	29	22	41	20	35	29	33
Pre.IX (ALTERNATIV)	1	4	39	3	-4	15	-6	9	3	7
Index 1 (12 - 12 UTC) exakte Aspekte des Tages	-4	9	21	-2	-4	1	-6	2	3	0
Index 1(ALTERNATIV)			31							
Symmetrien (0 - 0 UTC)	Var 74 Ven Jup (01) Tst K-- Nep 61 Ven Jun (03) H W H* T (+14) wegen Nep 72 Sed T*(0/52) Son 67 Orc Eri (18) ? * ...	Mer 10 Mar Cer (08) T H ? GaZ 4op Son Cer (17) A H* +7?	Mer 10op Sat Jun (00) H H +7? Mer 8op Jun GaZ (16) Hf T ?	Mer 6op Jun Qua (06) Hf A +7? Ven 145 Jup Sat (13) Hst A A* (+7) Son 10 Mar Cer (13) T W A W -7? Son 9op Sat Jun (14) H A +7?	Mer 5 Son Mar (13) H T ?	Ven 143 Jup GaZ (01) Hst T A* ? Jun 2op Mar Mer (05) H Hf +14 Oua 6op Son Cer (13) A H* +7?	Ven 68 Nep Var (11) H*(11/3,5) --- Mar 3op Plu Jun (17) A H +7	Mer 3op Plu Jun (10) A K Hf +7 Ven 150 Sat Hau (16) A W H H*(12,5/4) (+7) wegen Sat 120 Eri T Jun 4op Son Mer (21) A Hf +7? Jun 4op Son Mar (22) A H +7? Mer 76 Pal Mak (23) H* ---	Mer 76 Pal GSZ (02) H* --- Cer 2op Sat GaZ (04) A* Hf (+7) wegen Sat 120 Eri T Mar 76 Pal Mak (09) H* --- Hau 61 Sat Ven (12) H*(12,5/4) A* A* +7? Mar 76 Pal GSZ (19) H* ---	Ven 31 Eri Cer (05) A H A* +7 Son 171 Plu Qua (13) H A +7?
Index 2 (12 -12 UTC)	0	0	0	0	0	14	0	7	0	7
Index 2 ALTERNATIV										
ausgelöste Aspekte (= durch Konjunktionen aktivierte Aspekte)	Ves 45 GSZ H5 Apo 72 GSZ H13 Kn2 144 GSZ H13 Ura 120 GaZ 70 #	Apo 72 GSZ H13 Kn2 144 GSZ H13 Ura 120 GaZ 70 # Pal 90 Var T* -5	Ven 135 GSZ H2 Son 90 GSZ H3 Chi 30 Ura H8 Apo 72 GSZ H13 Kn2 144 GSZ H13 Ura 120 GaZ A*(1/2/2)	Ven 135 GSZ H2 Son 90 GSZ H3 Apo 72 GSZ H13 Kn2 144 GSZ H13	Apo 72 GSZ H13 Kn2 144 GSZ H13	Apo 72 GSZ H13 Kn2 144 GSZ H13	Apo 72 GSZ H13 Kn2 144 GSZ H13	Apo 72 GSZ H13 Kn2 144 GSZ H13	Apo 72 GSZ H13 Kn2 144 GSZ H13	Apo 72 GSZ H13 Kn2 144 GSZ H13
Index 3 (Summe)	31	21	34	31	26	26	26	26	26	26
Index 3 ALTERNATIV	5	-5	8	5	0	0	0	0	0	0
Symbol-Prognose	2	2	2	2	2	2	2	2	2	2
	3	3	2	3	3	2	3	3	3	3
Wochentag	Mi	Do	Fr	Sa	So	Mo	Di	Mi	Do	Fr
Datum	21	22	23	24	25	26	27	28	29	30
reale Wetterlage							T4: 2T - H*, Hf, H / +84			H5: Hf-T / +33
Luftdruck (hpa) 06 UTC	1015,6	1015,3	1015,2	1019	1016	1014,6	1009,2	1001,3	1000	1007,7
mittl. Temp.(°C)	25,4	27,5	25,7	22,9	21,9	23,2	22,5	20,7	18,3	18,9
Sonnenscheindauer (h)	13,6	10,9	11,9	9	2,6	13	4	6,5	6,2	8,6
Niederschlag (Liter)	0	0	0	0	0	2,7 / ...	9,1 / 3	0,5	0,7	0,2
Bodenwetterlage 00 UTC (Kernlage des Druckgebiets, das SW-D beeinflusst)	H ü Nsee	H ü Tschsch, T ü N-Nsee	H ü Däne	Azor-H	Azor-H	H ü SW-D, T ü Skand	fl T-Kerne bei Irland, Korsi, ü W F	T ü Irl u Benel	T ü Nsee	fl H-Keil von Iber
Bodenströmung 12 UTC zyklonal (z), antizyklonal (a)	a-z	a-z	fl a	a	fl z	fl a	fl z	a-z	a-z	fl a
Strömung auf 500 hpa 00 UTC	NW a-z	NW a	WNW a-z	W a	SW a-z	W a-z	SW a-z	SSW z	S z	SW z
zutreffende Wettersymbole	2 r	2 r	2 r	2-3 hr	3-5 hr	2 r	3-5 hr	3 hr	3 hr	3 hr

MER 30 VAR ZWI 29°11'50" KRE 29°11'51" H +1	01:12	GSZ 72 APO WAA 02°18'03" SCH 14°18'03" H* +13	05:41	VES 144 JUN LOW 19°01'20" STE 13°01'20" Hf* +11	00:14	MAR 180 JUN KRE 12°47'30" STE 12°47'29" H ---	01:19	MAR 90 JUP KRE 13°34'45" WAA 13°34'45" A	06:09	VEN 90 VES STI 20°19'45" LOW 20°19'44" A	01:56	MER 180 JUN KRE 12°07'29" STE 12°07'28" Hf ---	00:23	MER 120 NEP KRE 14°13'47" FIS 14°13'46" A W	00:24	VEN 150 SAT STI 23°30'60" SCH 23°30'59" A K	01:09	MER 180 PLU KRE 18°22'33" STE 18°22'32" A K	00:37	
JUP 90 JUN WAA 13°24'58" STE 13°24'58" A*	04:44	MER 90 FY9 KRE 01°51'59" WAA 01°51'57" A*	06:24	CER 120 EL6 KRE 01°52'04" WAA 22°40'10" H* +5	00:57	MER 72 ERI KRE 05°48'41" WID 23°48'40" A	01:47	VEN 144 JUP STI 19°35'06" WAA 13°35'06" Hf +8	09:13	MAR 120 NEP KRE 14°14'21" FIS 14°14'22" A W	06:20	APO 72 KN2 SCH 14°50'52" WAS 26°50'52" A* W*	03:29	VEN 150 EL6 STI 22°38'52" WAA 22°38'52" H +2	05:48	VEN 144 QUA STI 23°34'00" SCH 29°34'01" A*	02:16	SAT 144 VAR SCH 23°24'52" KRE 29°24'52" A*	12:04	
MER 180 QUA ZWI 29°43'13" SCH 29°43'11" A	06:55	MER 90 GSZ KRE 02°18'05" WAA 02°18'03" H +3	11:10	SON 90 FY9 KRE 01°52'04" WAA 01°52'05" H +3	03:23	VEN 120 PLU STI 18°30'36" STE 18°30'37" T K -2	09:00	SAT 180 CER SCH 23°45'35" ZWI 23°45'35" A*	15:06	PAL 135 APO WID 29°45'02" SCH 14°45'02" A*	06:33	MAR 150 APO KRE 14°51'16" SCH 14°51'15" A	04:53	MER 150 APO KRE 14°51'16" SCH 14°51'16" A	09:05	VEN 30 ERI WID 23°49'56" WAA 01°53'53" T ---	08:10	MER 72 FY9 KRE 18°53'53" WAA 01°53'53" T ---	18:40	
VAR 135 APO KRE 29°12'17" SCH 14°12'17" T* -11	08:59	VEN 135 FY9 STI 16°52'02" WAA 01°52'02" A	19:50	VEN 72 VAR STI 17°14'42" KRE 29°14'43" A	04:24	GaZ 120 KN1 SCH 26°59'28" LOW 26°59'28" A*(9/5)	10:33	CER 60 ERI ZWI 23°49'05" WID 23°49'06" A*	18:26	MER 45 SED KRE 11°25'00" STI 26°24'59" T -1	16:22	SON 72 ERI KRE 05°49'29" WID 23°49'28" T -3	06:54	VEN 135 KN1 STE 11°46'25" LOW 26°46'24" A*	13:09	CER 72 ORC ZWI 25°22'11" KRE 20°17'59" WAA 02°18'02" Hf +7	10:56	MER 72 GSZ KRE 20°17'59" WAA 02°18'02" Hf +7	23:28	
MER 45 VEN KRE 00°43'39" STI 15°43'39" T K ---	17:56	MAR 45 KN1 KRE 12°04'10" LOW 27°04'11" H +2	22:54	VEN 135 GSZ STI 17°18'04" WAA 02°18'03" H +2	05:40	NEP 45 PAL FIS 14°14'50" WID 29°14'51" A*	14:30	PAL 120 QUA WID 29°37'47" SCH 29°37'47" A*	20:54	VEN 144 GaZ STI 20°59'29" SCH 26°59'28" T -2	16:47	SON 45 VES KRE 05°51'52" LOW 20°51'51" A	07:54	MER 0 MAR KRE 15°54'58" STE 11°27'03" T -2	19:51	JUN 135 SED KRE 15°54'57" STE 11°27'03" A*	22:41			
MER 45 VEN KRE 00°43'39" STI 15°43'39" T K ---	20:17	NEP 90 APO FIS 14°15'26" SCH 14°15'26" H* 0/+10	22:54	CHI 30 PAL FIS 28°50'11" WID 28°50'11" A*	06:02	PAL 90 VAR WID 29°16'48" KRE 29°16'48" T* -5	17:05	MER 72 URA KRE 09°56'29" WID 27°56'26" H +1	23:45	MER 45 KN1 KRE 11°51'42" LOW 26°51'40" A	21:24	MER 90 JUP KRE 13°42'12" WAA 13°42'12" A	18:22	SON 60 ORC KRE 07°21'43" JUN 07°21'44" A	21:35					
MAR 45 SED KRE 11°21'49" STI 26°21'49" T -4	21:06	MAR 45 SED KRE 11°21'49" STI 26°21'49" T -4	22:54	NEP 135 VAR FIS 14°15'07" KRE 29°15'07" H*(11/3,5) 0/+10	11:19	SAT 120 ERI SCH 23°48'52" WID 23°48'52" T* -7	20:51	MER 45 VES KRE 04°09'00" LOW 19°08'60" T -1	18:23	MER 60 ORC KRE 07°18'36" JUN 07°18'36" A	23:45	MER 72 PAL KRE 11°56'54" WID 29°56'54" A	21:24	SON 60 ORC KRE 07°21'43" JUN 07°21'44" A	21:35					
PLU 150 VES STE 18°34'02" LOW 18°34'01" A*	22:22	PLU 150 VES STE 18°34'02" LOW 18°34'01" A*	22:54	SON 90 GSZ KRE 02°18'02" WAA 02°18'03" Hf +9	14:16	VEN 144 SAT STI 17°53'33" SCH 23°53'32" A	19:03													

03.07.2017

Juni 2017 **Prognose für SW-Deutschland**
Im Index 3 korrigierte Prognose
(Originalprognose vom 24.02.2015)

Der ganze Monat ist gekennzeichnet durch die Konjunktion von Makemake mit dem Supergalaktischen Zentrum. Durch diese Konjunktion wird ab dem 14. Apo 72 GSZ H13 ausgelöst und ab dem 19. noch zusätzlich Kn2 144 GSZ H13. Im alternativen Premeteo-Index werden diese zwei Auslösungen zum Vergleich weggelassen, da der Mondknoten und das Mondpogäum "nur" raumgeometrische Punkte sind. Der Premeteo-Index befindet sich nur an 5 Tagen im negativen Bereich, während der alternative Index dann an 8 Tagen Werte kleiner 0 erreicht.
Vom 4. bis 10. Pallas 0° Eris. Vom 17. bis 23. Pallas 0° Uranus.

Langsamläufer-Impulse		H*			H*					
Schnellläufer-Impulse	T, Tf	H, T, Hf	2T, 2H	2T, H	H, T	T, H, Hf	2H, 2T	H, 3T		T
Temperaturimpulse	W?*	K*	2K?	2W		3W	K		W	
Premeteo-Index -zyklonal, + antizyklonal (Index 1+2+3)	13	-4	5	-1	6	-17	11	-5	-1	0
Pre.IX (ALTERNATIV)	-1	6	-5							
Index 1 (12 - 12 UTC) exakte Aspekte des Tages	6	-11	5	-1	1	4	11	-5	-1	0
Index 1(ALTERNATIV)	-1	-1	-5							
Symmetrien (0 - 0 UTC)	Ven 2 Ura Eri (11) T H ? Eri 2 Ven Pal (13) H A* +7/0 Hau 179 Pal Eri (20) A ? ?	Mer 67 Nep Var (01) Mar 20p Qua GaZ (11) A H +7	Son 46 Ura Var (09) A A H*(4,5/1) --- Son 46 Ven Var (10) A K A H ---		Mar 67 Orc Eri (07) ? ---	Ven 46 Nep Cer (05) T T H* -14 Mer 60 Chi Var (06) A W H H*(8/0,5) --- Ven 46 Son Nep (08) A K T T -7	Ura 4 Ven Pal (02) T A* -7? Ura 4 Ven Eri (03) T A*(2/1) -7? Ves 134 Chi GaZ (21) A* H* ? --- Mer 30 Ven Mar (23) T K A A W (-7)	Sat 70p Son Mar (07) H A +7?		GaZ 70p Son Mar (17) A H +7?
Index 2 (12 - 12 UTC)	7	7	0	0	0	-21	0	0	0	0
Index 2 ALTERNATIV	0									
ausgelöste Aspekte (= durch Konjunktionen aktivierte Aspekte)			Ura 30 Sed A*(3/3) Ura 120 GaZ A*(2/2) Hau 180 Eri ?*	Ura 30 Sed A*(3/3) Ura 120 GaZ A*(2/2) Hau 180 Eri ?*	Cer 90 Nep H5 Nep 72 Sed T*(0,5/2) 10 Sed 150 GaZ ?* Hau 180 Eri ?*	Ven 45 Cer T-2 Hau 180 Eri ?* Mar 90 Mak H +4	Ven 45 Cer T-2 Hau 180 Eri ?* Mar 90 Mak H +4	Mer 120 GSZ H1 Ven 150 GSZ T-2 Hau 180 Eri ?* Mar 90 Mak H +4	Ven 150 GSZ T-2 Hau 180 Eri ?*	Hau 180 Eri ?*
Index 3 (Summe)	0	0	0	0	5	0	0	0	0	0
Index 3 ALTERNATIV										
Symbol-Prognose	2	3	3	3	3	3	2	3	3	3
Symbol-Prognose altern.	3	3	3	3	3	3	2	3	3	3
Wochentag	Do	Fr	Sa	So	Mo	Di	Mi	Do	Fr	Sa
Datum	1	2	3	4	5	6	7	8	9	10
reale Wetterlage	H1: T, Tf / +13	T1: T - H*, Hf, H / -4	H2: H*, 4H - 5T / +10			T2: T - H, Hf / -17	H3: 3H - 5T / +6		T3: - / -1	H4: -->
Luftdruck (hpa) 06 UTC	1021,3	1018,1	1014,7	1015,9	1016,5	1004,9	1017,7	1021,5	1012,6	1021,4
mittl. Temp.(°C)	20,9	20,9	20,1	17	16,3	14,8	14	17	18,1	18,5
Sonnenscheindauer (h)	5,3	5	6,9	7,5	6,6	4	5,6	14,1	4,2	14,5
Niederschlag (Liter)	0	0,3	17,7	3,2 / 25	0,4 / 0,5	3,9 / 2	0,7	0	3,7 / 9,5	0
Bodenwetterlage 00 UTC (Kernlage des Druckgebiets, das SW-D beeinflusst)	H ü Nsee	T-Rinne von F ü SW-D bis N-Balk	schm H-Brücke zw T ü N-Atl, GB, Benel u T ü N-Adria	T ü NO-D	H ü SO-D, Tschech	T ü GB	H ü Bisk, T ü Nsee	H ü O-Alpen	T ü O-Atl-Schottl, H ü O-Alp-Kaparten	H ü F
Bodenströmung 12 UTC zyklonal (z), antizyklonal (a)	a	fl z	fl a	fl a	fl a	z	fl a	fl a	a-z	a
Strömung auf 500 hpa 00 UTC	a-z	a-z	SW a	SW a-z	SW a-z	SW z	W z	W a	SW fl a	SW z
zutreffende Wettersymbole	2-5 hr	3 r	3 r	3 r	3-5 hr	3-5 r	3-5 f	2 hr	3-5 hr	2 hr
Übertrag	05:19	03:25	04:48	00:28	03:38	00:17	00:01	03:28	11:57	00:44
Index 1: +6	SON 144 JUN ZWI 10*55'02" STE 16*55'03" A	PAL 135 ORC WID 22*07'30" JUN 07*07'30" A*	VEN 120 GaZ WID 26*59'23" SCH 26*59'24" A	CHI 72 JUN FIS 28*32'23" STE 16*32'23" A*	VEN 90 VAR WID 28*52'14" KRE 28*52'14" H+2	SON 0 CER ZWI 15*30'16" WID 23*42'46" A W	PAL 0 ERI WID 23*42'46" A*	MAR 90 GSZ KRE 02*18'05" WAA 02*18'06" A	SON 150 PLU ZWI 18*50'19" STE 18*50'20" A*	CHI 135 VES FIS 28*39'58" LOW 13*39'58" A*
Index 2: 0	VEN 120 SAT WID 25*30'26" SCH 25*30'25" T 0 / -7	VEN 30 SED WID 27*05'58" STI 26*07'36" H+2	VEN 0 URA WID 27*05'58" WID 27*05'58" T K ? -4	PAL 180 EL6 WID 22*49'26" WAA 22*49'26" A*	MER 150 GaZ STI 26*59'23" SCH 26*59'24" A	MER 60 CHI STI 28*35'15" FIS 28*35'17" A W	MER 72 VES ZWI 00*32'46" LOW 12*32'45" H+1	MER 120 GSZ ZWI 02*18'07" WAA 02*18'06" H+1	VEN 60 MAR KRE 03*18'07" A W	SAT 120 PAL SCH 24*51'50" WID 24*51'50" A*
	MER 144 GaZ STI 20*59'21" SCH 26*59'23" A	SON 45 URA ZWI 12*03'36" WID 27*03'35" A	SON 144 PLU ZWI 12*57'33" STE 18*57'33" A K?	SON 45 VAR ZWI 13*51'15" KRE 28*51'16" A	JUP 72 SAT WAA 13*14'36" SCH 25*14'36" A	MER 144 EL6 STI 28*48'06" WAA 22*48'08" A	CER 150 JUN ZWI 16*02'43" STE 16*02'43" A	MER 30 MAR ZWI 02*19'08" KRE 02*19'08" A	MER 90 ORC ZWI 07*10'29" JUN 07*10'27" T-1	MER 135 EL6 ZWI 07*45'23" WAA 22*45'21" A
	URA 135 APO WID 27*02'17" SCH 12*02'17" A*	MAR 90 CHI FIS 28*30'05" A	MER 30 ERI STI 23*41'11" WID 23*41'11" H+1	MER 150 SAT STI 25*19'06" SCH 25*19'04" T-1	MER 30 URA STI 27*11'18" WID 27*11'17" A W?	VEN 120 QUA STI 00*00'37" STE 00*00'37" T-2	VEN 45 CER STI 01*06'07" ZWI 16*06'07" T-2	VEN 150 FY9 STI 01*52'10" WAA 01*52'09" T-2	MER 135 PLU STI 02*18'07" WAA 02*18'06" T-4	MER 135 EL6 ZWI 07*45'23" WAA 22*45'21" A
	MAR 60 KN1 ZWI 28*10'56" LOW 28*10'55" TF -10/0	SON 180 APO ZWI 12*05'50" SCH 12*05'49" T-3	VEN 135 APO WID 27*12'19" SCH 12*12'19" T-4	VEN 120 KN1 WID 28*03'25" LOW 28*03'25" A W	VEN 45 NEP WID 28*13'56" FIS 14*13'56" T ---	MER 60 VAR STI 28*53'32" KRE 28*53'34" H+1	MER 135 JUN ZWI 01*01'01" STE 16*01'01" A	VEN 150 GSZ STI 02*18'07" WAA 02*18'06" T-4	MAR 90 ORC ZWI 07*10'29" JUN 07*10'27" T-1	MER 135 EL6 ZWI 07*45'23" WAA 22*45'21" A
	SAT 135 VES SCH 25*30'26" LOW 10*29'05" A*	MER 30 PAL STI 22*14'32" WID 22*14'31" A	MER 144 QUA STI 24*03'42" STE 00*03'43" H+2	SON 90 NEP FIS 14*13'37" T-3	MER 90 KN1 STI 27*58'40" LOW 27*58'38" A	SON 72 KN1 ZWI 15*56'33" LOW 27*56'33" A W	MAR 90 FY9 KRE 01*52'17" WAA 01*52'16" H+4	JUP 60 VES WAA 13*13'02" LOW 13*13'01" A*	MER 135 PLU STI 02*18'07" WAA 02*18'06" T-1	MER 135 EL6 ZWI 07*45'23" WAA 22*45'21" A
	CER 45 VAR ZWI 13*48'44" KRE 28*48'45" A* W?	MER 150 EL6 WAA 22*50'25" A	SON 120 JUP WAA 13*16'08" A W	MAR 180 QUA KRE 00*02'24" STE 00*02'25" H* +5	VES 135 GaZ LOW 11*59'24" SCH 26*59'24" H* +5	SON 150 JUN ZWI 16*08'35" STE 16*08'35" Hf +9	VEN 120 APO LOW 12*39'38" SCH 12*39'38" A*	MER 135 PLU STI 01*52'10" WAA 01*52'16" T K -1	MER 135 EL6 ZWI 07*45'23" WAA 22*45'21" A	MER 135 EL6 ZWI 07*45'23" WAA 22*45'21" A
	VEN 72 EL6 LOW 10*50'23" WAA 22*50'24" A*	MER 30 VAR ZWI 28*49'46" KRE 28*49'46" Hf +10/0	VEN 30 CHI WID 28*33'30" FIS 28*33'31" A	MER 0 SED STI 26*09'29" STI 26*09'30" H+2	MER 135 JUP STI 28*14'11" WAA 13*14'10" A	MER 150 QUA STI 29*59'55" SCH 29*59'56" T K -1	MER 30 VEN ZWI 01*17'12" STI 01*17'11" T K -1	MER 120 FY9 ZWI 01*52'11" WAA 01*52'11" A	MER 135 EL6 ZWI 07*45'23" WAA 22*45'21" A	MER 135 EL6 ZWI 07*45'23" WAA 22*45'21" A
	MAR 30 VAR ZWI 28*49'46" KRE 28*49'46" Hf +10/0	NEP 90 CER FIS 14*12'55" ZWI 14*12'55" H* K* +5	MER 72 NEP STI 26*13'39" FIS 14*13'41" A W							

Juni 2017



Prognose für SW-Deutschland

Im Index 3 korrigierte Prognose
(Originalprognose vom 24.02.2015)

Der ganze Monat ist gekennzeichnet durch die Konjunktion von Makemake mit dem Supergalaktischen Zentrum. Durch diese Konjunktion wird ab dem 14. Apo 72 GSZ H13 ausgelöst und ab dem 19. noch zusätzlich Kn2 144 GSZ H13. Im alternativen Premeteo-Index werden diese zwei Auslösungen zum Vergleich weggelassen, da der Mondknoten und das Mondapogäum "nur" raumgeometrische Punkte sind. Der Premeteo-Index befindet sich nur an 5 Tagen im negativen Bereich, während der alternative Index dann an 8 Tagen Werte kleiner 0 erreicht. Vom 4. bis 10. Pallas 0° Eris. Vom 17. bis 23. Pallas 0° Uranus.

Langsamläufer-Impulse	T*, H*	H*	Hf*, 2H*	2T*					H*	
Schnellläufer-Impulse	2H, 2T	T	2H, T, Hf	T, H	Hf, H	2T	Hf, T	H, T		T, Hf
Temperaturimpulse	K					W	W*	W	W	K
Premeteo-Index -zyklonal, + antizyklonal (Index 1+2+3)	-4	4	19	1	-4	15	-6	9	3	7
Pre.IX (ALTERNATIV)			29							
Index 1 (12 - 12 UTC) exakte Aspekte des Tages	-4	9	21	-2	-4	1	-6	2	3	0
Index 1(ALTERNATIV)			31							
Symmetrien (0 - 0 UTC)	Var 74 Ven Jup (01) Tst K- Nep 61 Ven Jun (03) H W H* T (+14) wegen Nep 72 Sed T*(0/52) Son 67 Orc Eri (18) ? * ...	Mer 10 Mar Cer (08) T H ? Gsz 4op Son Cer (17) A H* +7?	Mer 10op Sat Jun (00) H H +7? Mer 8op Jun Gsz (16) Hf T ?	Mer 6op Jun Qua (06) Hf A +7? Ven 145 Jup Sat (13) Hst A A* (+7) Son 10 Mar Cer (13) T W A W -7? Son 9op Sat Jun (14) H A +7?	Mer 5 Son Mar (13) H T ?	Ven 143 Jup GaZ (01) Hst T A* ? Jun 2op Mar Mer (05) H Hf +14 Oua 6op Son Cer (13) A H* +7?	Ven 68 Nep Var (11) H*(11/3,5) --- Mar 3op Plu Jun (17) A H +7	Mer 3op Plu Jun (10) A K Hf +7 Ven 150 Sat Hau (16) A W H H*(12,5/4) (+7) wegen Sat 120 Eri T* Jun 4op Son Mer (21) A Hf +7? Jun 4op Son Mar (22) A H +7? Mer 76 Pal Mak (23) H* ---	Mer 76 Pal GSZ (02) H* --- Cer 2op Sat GaZ (04) A* Hf (+7) wegen Sat 120 Eri T* Mar 76 Pal Mak (09) H* --- Hau 61 Sat Ven (12) H*(12,5/4) A* A* +7? Mar 76 Pal GSZ (19) H* ---	Ven 31 Eri Cer (05) A H A* +7 Son 171 Plu Qua (13) H A +7?
Index 2 (12 -12 UTC)	0	0	0	0	0	14	0	7	0	7
Index 2 ALTERNATIV										
ausgelöste Aspekte (= durch Konjunktionen aktivierte Aspekte)	Ves 45 GSZ H5 Apo 72 GSZ H13 Kn2 144 GSZ H13 Ura 120 GaZ A*(2/2)	Apo 72 GSZ H13 Kn2 144 GSZ H13 Ura 120 GaZ A*(2/2) Pal 90 Var T* -5	Ven 135 GSZ H2 Son 90 GSZ H3 Chi 30 Ura H8 Apo 72 GSZ H13 Kn2 144 GSZ H13 Ura 120 GaZ A*(2/2) Pal 90 Var T* -5	Ven 135 GSZ H2 Son 90 GSZ H3 Apo 72 GSZ H13 Kn2 144 GSZ H13	Apo 72 GSZ H13 Kn2 144 GSZ H13	Apo 72 GSZ H13 Kn2 144 GSZ H13	Apo 72 GSZ H13 Kn2 144 GSZ H13	Apo 72 GSZ H13 Kn2 144 GSZ H13	Apo 72 GSZ H13 Kn2 144 GSZ H13	Apo 72 GSZ H13 Kn2 144 GSZ H13
Index 3 (Summe)	0	-5	-2	3	0	0	0	0	0	0
Index 3 ALTERNATIV										
Symbol-Prognose	3	3	2	3	3	2	3	3	3	3
Wochentag	Mi	Do	Fr	Sa	So	Mo	Di	Mi	Do	Fr
Datum	21	22	23	24	25	26	27	28	29	30
reale Wetterlage							T4: 2T - H*, Hf, H / +6			H5: Hf-T / +7
Luftdruck (hpa) 06 UTC	1015,6	1015,3	1015,2	1019	1016	1014,6	1009,2	1001,3	1000	1007,9
mittl. Temp.(°C)	25,4	27,5	25,7	22,9	21,9	23,2	22,5	20,7	18,3	18,9
Sonnenscheindauer (h)	13,6	10,9	11,9	9	2,6	13	4	6,5	6,2	8,6
Niederschlag (Liter)	0	0	0	0	0	2,7 / ...	9,1 / 3	0,5	0,7	0,2
Bodenwetterlage 00 UTC (Kernlage des Druckgebiets, das SW-D beeinflusst)	H ü Nsee	H ü Tschsch, T ü N-Nsee	H ü Däne	Azor-H	Azor-H	H ü SW-D, T ü Skand	fl T-Kerne bei Irland, Korsi, ü W F	T ü Irl u Benel	T ü Nsee	fl H-Keil von Iber
Bodenströmung 12 UTC zyklonal (z), antizyklonal (a)	a-z	a-z	fl a	a	fl z	fl a	fl z	a-z	a-z	fl a
Strömung auf 500 hpa 00 UTC	NW a-z	NW a	WNW a-z	W a	SW a-z	W a-z	SW a-z	SSW z	S z	SW z
zutreffende Wettersymbole	2 hr	2 hr	2 r	2-3 r	3-5 hr	2 r	3-5 hr	3 r	3 r	3 r

MER 30 VAR ZWI 29°11'50" KRE 29°11'51" H +1	01:12	GSZ 72 APO WAA 02°18'03" SCH 14°18'03" H* +13	05:41	VES 144 JUN LOW 19°01'20" STE 13°01'20" Hf* +11	00:14	MAR 180 JUN KRE 12°47'30" STE 12°47'29" H ---	01:19	MAR 90 JUP KRE 13°34'45" WAA 13°34'45" A	06:09	VEN 90 VES STI 20°19'45" LOW 20°19'44" A	01:56	MER 180 JUN KRE 12°07'29" STE 12°07'28" Hf ---	00:23	MER 120 NEP KRE 14°13'47" FIS 14°13'46" A W	00:24	VEN 150 SAT STI 23°30'60" SCH 23°30'59" A K	01:09	MER 180 PLU KRE 18°22'33" STE 18°22'32" A K	00:37
JUP 90 JUN WAA 13°24'58" STE 13°24'58" A*	04:44	MER 90 FY9 KRE 01°51'59" WAA 01°51'57" A*	06:24	CER 120 EL6 ZWI 22°40'10" WAA 22°40'10" H* +5	00:57	MER 72 ERI KRE 05°48'41" WID 23°48'40" A	01:47	VEN 144 JUP STI 19°35'06" WAA 13°35'06" Hf +8	09:13	MAR 120 NEP KRE 14°14'21" FIS 14°14'22" A W	06:20	APO 72 KN2 SCH 14°50'52" WAS 26°50'52" A* W*	03:29	VEN 150 EL6 STI 22°38'52" WAA 22°38'52" H +2	05:48	VEN 144 QUA STI 23°34'00" SCH 29°34'01" A*	02:16	SAT 144 VAR SCH 23°24'52" KRE 29°24'52" A*	12:04
MER 180 QUA ZWI 29°43'13" SCH 29°43'11" A	06:55	MER 90 GSZ KRE 02°18'05" WAA 02°18'03" H +3	11:10	SON 90 FY9 KRE 01°52'04" WAA 01°52'05" H +3	03:23	VEN 120 PLU STI 18°30'36" STE 18°30'37" T K -2	09:00	SAT 180 CER SCH 23°45'35" ZWI 23°45'35" A*	15:06	PAL 135 APO WID 29°45'02" SCH 14°45'02" A*	06:33	MAR 150 APO KRE 14°51'16" SCH 14°51'15" A	04:53	MER 150 APO KRE 14°51'05" SCH 14°51'06" A	09:05	VEN 30 ERI WID 23°49'56" WAA 01°53'53" T ---	08:10	MER 72 FY9 KRE 18°53'53" WAA 01°53'53" T ---	18:40
VEN 135 APO KRE 29°12'17" SCH 14°12'17" T* -11	08:59	VEN 135 FY9 STI 16°52'02" WAA 01°52'02" A	19:50	VEN 72 VAR STI 17°14'42" KRE 29°14'43" A	04:24	GaZ 120 KN1 SCH 26°59'28" LOW 26°59'28" A*(9/5)	10:33	CER 60 ERI ZWI 23°49'05" WID 23°49'06" A*	18:26	MER 45 SED KRE 11°25'00" STI 26°24'59" T -1	16:22	SON 72 ERI KRE 05°49'29" WID 23°49'28" T -3	06:54	VEN 135 KN1 STE 11°46'25" LOW 26°46'24" A*	13:09	CER 72 ORC ZWI 25°22'11" JUN 07°22'10" Hf +5	10:56	MER 72 GSZ KRE 20°17'59" WAA 02°18'02" Hf +7	23:28
MER 45 VEN KRE 00°43'39" STI 15°43'39" T K ---	17:56	MAR 45 KN1 KRE 12°04'10" LOW 27°04'11" H +2	22:54	VEN 135 GSZ STI 17°18'04" WAA 02°18'03" H +2	05:40	NEP 45 PAL FIS 14°14'50" WID 29°14'51" A*	14:30	PAL 120 QUA WID 29°37'47" SCH 29°37'47" A*	20:54	VEN 144 GaZ STI 20°59'29" SCH 26°59'28" T -2	16:47	SON 45 VES KRE 05°51'52" LOW 20°51'51" A*	07:54	MER 0 MAR KRE 15°54'58" STE 11°27'03" A*	19:51	JUN 135 SED STE 11°27'03" STE 26°27'02" A*	22:41		
MER 45 VEN KRE 00°43'39" STI 15°43'39" T K ---	20:17	NEP 90 APO FIS 14°15'26" SCH 14°15'26" H* 0/+10	22:54	CHI 30 PAL FIS 28°50'11" WID 28°50'11" A*	06:02	PAL 90 VAR WID 29°16'48" KRE 29°16'48" T* -5	17:05	MER 72 URA KRE 09°56'29" WID 27°56'26" H +1	23:45	MER 45 KN1 KRE 11°51'42" LOW 26°51'40" A	21:24	MER 90 JUP KRE 13°42'12" WAA 13°42'12" A	18:22	SON 60 ORC KRE 07°21'43" JUN 07°21'44" A	21:35				
MAR 45 SED KRE 11°21'49" STI 26°21'49" T -4	21:06	MAR 45 SED KRE 11°21'49" STI 26°21'49" T -4	22:54	NEP 135 VAR FIS 14°15'07" KRE 29°15'07" H*(11/3,5) 0/+10	11:19	SAT 120 ERI SCH 23°48'52" WID 23°48'52" T* -7	20:51	MER 72 PAL KRE 11°56'54" WID 29°56'54" A	18:23										
PLU 150 VES STE 18°34'02" LOW 18°34'01" A*	22:22	PLU 150 VES STE 18°34'02" LOW 18°34'01" A*	22:54	SON 90 GSZ KRE 02°18'02" WAA 02°18'03" Hf +9	14:16	VEN 144 SAT STI 17°53'33" SCH 23°53'32" A	19:03												

Juni 2017: Fehlprognosen

Datum	Vorzeichen Symbol	Analyse
4.	-1 3 r	Tief Heinrich mit Kernen über Nordostdeutschland, Nordsee und Nordostatlantik. Tief Heinrich war in der Nacht und am Vormittag des 4. bis in unsere Region mit kräftigen Niederschlägen wetterwirksam, doch setzte sich bis 12 UTC die Hochdruckströmung von Hoch Yannika schon ganz schwach durch. Flacher Index.
8.	-2 2 hr	Hoch Zalia über Ostalpen. Der Himmel war am Vormittag durchgehend von milchiger Schleierbewölkung bezogen, die sich am Nachmittag bei einsetzendem Luftdruckfall auflöste. Flacher Index.
13.	-18 altern. +20 2 f	Hoch Barbara über Nordwestfrankreich. Nach den bisher guten Erfahrungen mit Neptun 72° Sedna als T*-Aspekt dürfte in diesem Fall die Symmetrie Merkur 45° Uranus Varuna TTH?* die größere Rolle gespielt haben. Uranus 90° Varuna trägt wahrscheinlich einen H-Impuls. Jupiter 60° Mondapogäum H* im Index 1 hat möglicherweise einen starken Lokalbezug. Alternativer Premeteo-Index ist richtig.
27.	+20 3-5 f	Tief Rasmund westlich Irlands. Der unkorrigierte Index 3 verursachte das starke Ausmaß der Fehlprognose vom 27. bis 29. Hier zeigte es sich wieder, dass der korrigierte Index die reale Wetterlage besser wiedergab. Allerdings entwickelte sich die Zyklonalität dann deutlich kräftiger, als auch der korr. Index erwarten ließ.
28.	+35 3 f	Tief Rasmund über Benelux Am 28. zeigte sich auf 500 hpa ein starker Trog, der ganz Europa umfasste und sich nur langsam nach Osten verlagerte. Merkur trat am 28. in Konjunktion mit Mars, ein Tiefdruckaspekt. Dies geschah in 120° zu Neptun (exakt um 00:24 UTC am 28.), aber auch in 72° zu Makemake T und dem Supergalaktischen Zentrum GSZ Hf, Aspekte, die sich durch ihre widersprechenden Impulse auszeichneten (exakt am 30. um 18:40 und 23:28 UTC).
29.	+29 3 hr	Tief Rasmund über Nordsee. Der H*-Aspekt Ceres 72° Orcus, der am 29. exakt wurde, schien seinen Einfluss erst am 30. bemerkbar zu machen. Analyse siehe 27. und 28.

Juni 2017: Fehlprognosen (Prognose korrigiert im Index 3)

Datum	Vorzeichen Symbol	Analyse
4.	-1 3 r	Tief Heinrich mit Kernen über Nordostdeutschland, Nordsee und Nordostatlantik. Tief Heinrich war in der Nacht und am Vormittag des 4. bis in unsere Region mit kräftigen Niederschlägen wetterwirksam, doch setzte sich bis 12 UTC die Hochdruckströmung von Hoch Yannika schon ganz schwach durch. Flacher Index.
8.	-5 2 hr	Hoch Zalia über Ostalpen. Der Himmel war am Vormittag durchgehend von milchiger Schleierbewölkung bezogen, die sich am Nachmittag bei einsetzendem Luftdruckfall auflöste. Flacher Index.
13.	-18 altern. +20 2 f	Hoch Barbara über Nordwestfrankreich. Nach den bisher guten Erfahrungen mit Neptun 72° Sedna als T*-Aspekt dürfte in diesem Fall die Symmetrie Merkur 45° Uranus Varuna TTH?* die größere Rolle gespielt haben. Uranus 90° Varuna trägt wahrscheinlich einen H-Impuls. Jupiter 60° Mondapogäum H* im Index 1 hat möglicherweise einen starken Lokalbezug. Alternativer Premeteo-Index ist richtig.
14.	-3 2 hr	Hoch Barbara über Westdeutschland. Flacher Index, fallender Luftdruck.
20.	-11 2 f	Flaches Mittelmeerhoch mit Kernen über dem Tyrrhenischen Meer und dem Westbalkan. Fallender Luftdruck, starke Erwärmung. Unkorrigierter Premeteo-Index ist positiv. Der Luftdruck fiel nicht so stark, wie vom korrigierten Premeteo-Index erwartet. Die Merkur-T-Aspekte und die Merkur-T-Symmetrie, die für den negativen, korr. Premeteo-Index verantwortlich waren, setzten sich nicht völlig gegen die bestehende, antizyklonale Strömung durch. Dies entsprach dem geglätteten Premeteo-Index, der sein Wellental erst in einer Verschiebung um zwei Tage am 21./22. Juni ausbildete.
21.	-4 2 hr	Hoch Deike über der Nordsee. Neben den T-Aspekten hatte der Tag auch zwei H-Aspekte: Merkur 0° Sonne und Neptun 90° Apogäum. Auf 500 hpa Umstellung von antizyklonaler zu zyklonaler Strömung. Flacher Index.
25.	-4 3-5 hr	Azorenhoch. Es war stark, oft dicht bewölkt und der korrigierte Premeteo-Index lag mit seinem Wert von – 4 näher am Verlauf des realen Wettergeschehens als der unkorrigierte Index. Dennoch verblieb die Strömung im flach antizyklonalen Verlauf und die Antizyklonalität verstärkte sich bei fallendem Luftdruck zum 26., als der Kern der Hochdruckströmung um 0 UTC über Südwestdeutschland lag. Flacher Index.
28.	+9 3 r	Tief Rasmund über Benelux. Die Zyklonalität entwickelte sich deutlich kräftiger, als auch der korr. Index erwarten ließ. Es zeigte sich auf 500 hpa ein starker Trog, der ganz Europa umfasste und sich nur langsam nach Osten verlagerte. Merkur trat am 28. in Konjunktion mit Mars, ein Tiefdruckaspekt. Dies geschah in 120° zu Neptun W (exakt um 00:24 UTC am 28.), aber auch in 72° zu Makemake T und dem Supergalaktischen Zentrum GSZ Hf, Aspekte, die sich durch ihre widersprechenden Impulse auszeichneten (exakt am 30. um 18:40 und 23:28 UTC). Flacher Index.
29.	+3 3 r	Tief Rasmund über Nordsee. Der H*-Aspekt Ceres 72° Orcus, der am 29. exakt wurde, schien seinen Einfluss erst am 30. bemerkbar zu machen. Analyse siehe 28. Flacher Index.